



نشریه علمی مکانیک سازه‌ها و شاره‌ها

DOI: 10.22044/jsfm.2022.9578.3164

بررسی تجربی اثر زاویه لکس بر جریان گردابه‌ای روی بال الماسی با مقطع ایرفویل شکل بهوسیله جریان سنج سیم‌داغ و کاوشگر پنج‌حفره

سید محمد رضا هاشمی^۱ و مجتبی دهقان منشادی^{۲*}^۱ کارشناس ارشد، مجتمع دانشگاهی مکانیک، دانشگاه صنعتی مالک اشتر^۲ استاد، مجتمع دانشگاهی مکانیک، دانشگاه صنعتی مالک اشتر

مقاله مستقل، تاریخ دریافت: ۱۳۹۹/۰۹/۲۵؛ تاریخ بازنگری: ۱۳۹۹/۰۹/۲۰؛ تاریخ پذیرش: ۱۴۰۰/۱۲/۲۶

چکیده

در این پژوهش به بررسی اثر زاویه لکس بر الگوی جریان روی بال الماسی شکل بهوسیله جریان سنج سیم‌داغ و کاوشگر پنج‌حفره پرداخته شده است. ضریب فشار در دو مقطع روی بال و در سه زاویه حمله ۵، ۱۰ و ۲۰ درجه توسط کاوشگر پنج‌حفره و شدت اغتشاشات در سه مقطع و زاویه حمله ۱۰ درجه توسط جریان سنج سیم‌داغ بررسی شده است. آزمایشات در تونل باد مدار بسته دانشگاه صنعتی مالک اشتر با کیفیت جریان خوب و در سرعت ۱۲/۵ متر بر ثانیه معادل عدد رینولدز ۱۹۲۵۰۰ انجام شده است. در یک زاویه حمله ثابت با حرکت به سمت پایین دست جریان، قطر هسته گردابه تشکیل شده ناشی از لبه حمله بال و گردابه لکس افزایش یافته که منجر به افزایش مکش فشار روی بال شده است. بالا رفتن قدرت مکش در مرکز هسته گردابه لکس و گردابه لبه حمله منجر به نزدیکتر شدن این دو گردابه بهم دیگر شده است. بزرگ‌تر شدن هسته گردابه، بالارفتن شدت اغتشاشات آن را در پی داشته که قدرت این اغتشاشات با حرکت به سمت پایین دست جریان افزایش یافته است. تحلیل فرکانسی در نزدیکی مرکز گردابه لبه حمله و گردابه لکس نشان داد که در یک مقطع ثابت روی بال، افزایش اغتشاشات گردابه موجب افزایش دامنه طیف نوسانی شده است که نتیجه افزایش قدرت گردابه بوده است. علاوه بر این، مقدار بیشینه طیف نوسانی در نزدیکی گردابه لکس ۱۶ درجه، با افزایش زاویه حمله افزایش پیدا کرده است.

کلمات کلیدی: بال الماسی؛ لکس؛ جریان سنج سیم‌داغ؛ کاوشگر پنج‌حفره؛ گردابه.

Experimental Study of LEX Angle Effect on Vortical Flow Over the Diamond Wing with Airfoil-Shaped Section by Using Hot-wire and Five-hole

S.M.R. Hashemi¹, M. Dehghan Manshadi^{2*}¹ Ms. Mech. Eng., Malek Ashtar Univ. of Technology., Iran.^{2*} Prof., Mech. Eng., Malek Ashtar Univ. of Technology, Iran.

Abstract

In this research, the effects of LEX angle on flow pattern over the diamond wing by using hot-wire and five-hole probe are investigated. The pressure coefficient tests over the wing at three different angles of attack respectively 5, 10 and 15 degrees and on two section was conducted by five hole probe. Also turbulence intensity measurements were conducted at three sections for 10 degree angle of attack by using hot wire anemometer. Experimental tests were conducted in a closed circuit wind tunnel with acceptable flow quality at the velocity of 12.5 (m/s) equal to 192500 Reynolds number. At a constant angle of attack with a downward movement the flow; the vortex diameter formed due to the Leading edge of the wing. Therfore, the LEX vortex increased which has led to growing pressure suction on the wing. Amplified suction pressure at the center of the LEX vortex core and the leading edge vortex have carried the two vortices closer together. Thus, the larger the vortex core lead to higher turbulence intensity by moving to downstream. Frequency analysis near the center of the leading edge vortex and Lex vortex showed that at constant section over the wing, the turbulence intensity near vortex core exposed, increasing turbulence intensity that caused to rise the amplitude spectra of fluctuation. Furthermore, frequency analysis indicate that the maximum domain of power spectra increases for LEX angle of 16 degree with rising of angles of attack.

Keywords: Diamond Wing; LEX; Hot-Wire Anemometer; Five-Hole Probe; Vortex.

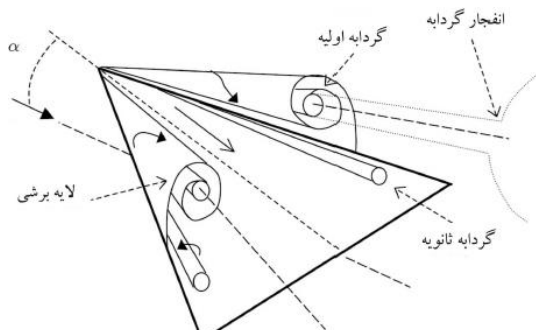
* نویسنده مسئول؛ تلفن: ۰۳۱۴۵۲۲۷۱۳۵؛ فکس: ۰۳۱۴۵۲۲۷۱۳۵

آدرس پست الکترونیکی: mdmanshadi@alum.sharif.edu

موجب بزرگ‌تر شدن گردابه اولیه و فاصله گرفتن از سطح زیرین خود و در نتیجه افزایش مکش روی بال می‌شود [۵]. با فاصله گرفتن گردابه اولیه از سطح، یک ناحیه کم‌فشار دیگر در قسمت زیرین خود ایجاد می‌کند که شرایط برای تشکیل گردابه ثانویه مهیا می‌شود. گردابه ثانویه تاحدی باعث افزایش پایداری و افزایش نیروی برآ موسوم به برآی گردابه‌ای می‌شود. در شرایط خاص امکان تشکیل گردابه سومی نیز وجود دارد [۶]. افزایش قطر گردابه آن را در معرض شرایط خاصی قرار می‌دهد که فشار و سرعت آن با فشار و سرعت جریان آزاد تقریباً برابر می‌شود. در این حالت هسته گردابه قابل تشخیص نمی‌باشد. این پدیده که با افزایش نوسانات همراه است را فروپاشی گردابه می‌نامند [۷]. مکان فروپاشی گردابه با افزایش زاویه حمله به‌سمت بالادست تغییر مکان می‌دهد. فاکتور مهم دیگر در تغییر مکان فروپاشی گردابه، زاویه عقب‌گرد بال می‌باشد که هرچه این زاویه افزایش پیدا کند، مکان فروپاشی گردابه به سمت نوک بال تغییر موقعیت می‌دهد [۸]. مشاهدات انجام شده روی بال مثلثی نشان داد که بعد از یک عدد رینولدز خاص رسد و با دور شدن از مرکز گردابه از شدت اغتشاشات کاسته می‌شود [۹]. یانیکتپ و راکول^۱ به این نکته دست یافته‌ند که الگوی جریان روی بال الماسی و لامبدا تقریباً مشابه یکدیگر است و شامل یک جفت گردابه است که از لبه حمله بال سرچشممه گرفته و با حرکت به‌سمت پایین-دست چار تزلزل شده و در نهایت فروپاشی رخ داده است [۱۰]. الگوی جریان روی بال الماسی تحت زاویه جانی نشان داد که بال در جهت باد زودتر چار فروپاشی شده [۱۱] و این فروپاشی نامتقارن گردابه موجب ناپایداری در گشتاور غلتش شده و حرکت یاو نامتقارن را به وجود می‌آورد [۱۲]. از آنجایی که بال الماسی مورد استفاده در گنگنده نسل پنجم بهجهت ملاحظات پنهان کاری از زاویه عقب‌گرد کمی برخوردار است، بنابراین فروپاشی گردابه در زوایای حمله پایین‌تر (به نسبت بال مثلثی با زاویه عقب‌گرد

۱- مقدمه

پژوهش‌گران برای طراحی و ساخت جنگنده پنهان کار نسل جدید از موادی با قابلیت جذب امواج ارسالی از سوی رadar استفاده می‌کنند [۱۳]. اما هیچ‌گاه این مواد قادر به جذب کلیه امواج نخواهند بود؛ بنابراین در طراحی پیکربندی جنگنده نسل پنجم با قابلیت رadarگریزی سعی می‌شود تا حد امکان از صفحات صاف استفاده نشود و بیشتر صفحات زاویه‌دار به کار برده شود که امواج ارسالی از سوی رadar پس از برخورد با جنگنده به صورت زاویه‌دار در فضابرگشت داده شود [۱۴]. یکی از مهم‌ترین اجزای جنگنده برای این منظور بال هوایپیما است که بال الماسی شکل بهترین گزینه برای جنگنده‌های رadarگریز است که با افزایش مساحت بال جنگنده سوخت ادوات جنگی در داخل بال نیز فراهم است [۱۵]. تحلیل جریان بال الماسی تقریباً همانند بال مثلثی با زاویه عقب‌گرد کم است که در شکل ۱ نمونه‌ای از جریان روی بال مثلثی نشان داده شده است. گرادیان فشار معکوس موجب جدایش لایه-برشی شده که این لایه‌برشی جدایشده روی سطح بال، به سمت خط مرکزی بال چرخیده و ساختار گردابه اولیه یا گردابه لبه‌حمله را تشکیل داده است. در زوایای حمله بال، جریان پرفشار در زیر بال تمایل به حرکت به‌سمت منطقه کم‌فشار روی بال دارد که دارای جریان عرضی بسیار قوی است.



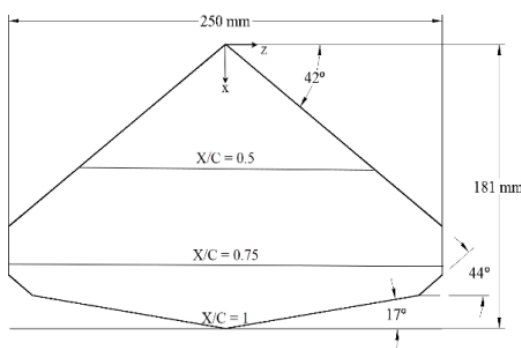
شکل ۱- الگوی جریان روی بال مثلثی [۱۵]

این جریان عرضی موجب مکش روی بال شده و افزایش نیروی برآ را به دنبال دارد. این گردابه در مرکز خود دارای سرعت بسیار زیادی می‌باشد که نتیجه آن تولید فشار منفی بسیار بالایی است. در یک مقطع ثابت افزایش زوایه حمله

¹ Yaniktepe and Rockwell

² Adverse yaw

را ۵ تا ۱۲/۱ درصد افزایش داده و زاویه واماندگی بال را تا ۱۰ درجه افزایش می‌دهد [۱۹]. همان‌طور که گفته شد، از آنجایی که در حوزه‌ی طراحی جنگنده‌هایی با قابلیت پنهان‌کاری و رادارگریز، نیاز به وجود بال‌های الماسی با زاویه عقب‌گرد کم است، در نتیجه برای افزایش زاویه واماندگی بال جنگنده و برتری هوایی آن نیاز به سطوح آبروپلینامیکی به نام لکس است که این سطوح به وضوح در جنگنده‌هایی نظیر اف-۲۴^۴ و سوخو-۵۷^۵ دیده می‌شود. در پژوهش حاضر برای نخستین بار تفاوت زوایای مختلف لکس بال الماسی با مقطع ابرفول شکل بر الگوی جریان روی بال الماسی به روش آزمایشگاهی بررسی شده‌است. بال الماسی انتخابی مشابه بال جنگنده رادارگریز اف-۲۲ بوده که قابلیت نصب لکس با زوایای مختلف در آن وجود داشته‌است. برای این منظور ضریب فشار در دو مقطع از بال مجهز به لکس ۸ و ۱۶ درجه توسط کاوشگر پنج‌حفره اندازه‌گیری شده و هم‌چنین اغتشاشات سرعت در راستای جریان، در سه مقطع روی بال بهوسیله جریان‌سنج سیم‌دانگ بررسی شده‌است. در نهایت تحلیل طیف فرکانسی ریزش گردا به در نزدیکی گردا به لبه حمله بال و گردا به لکس نیز بررسی و مقایسه شده‌است. تمامی آزمایشات در تونل باد مدار بسته دانشگاه صنعتی مالک‌اشتر با سرعت ۱۲/۵ متر بر ثانیه انجام گرفته شده که معادل رینولدز ۱۹۲۵۰۰ بوده است.



شکل ۲- ابعاد هندسه مورد استفاده در پژوهش حاضر

بالا) رخ داده که این امر قابلیت مانورپذیری جنگنده در نبردهای هوایی را کاهش می‌دهد [۱۳]. برای حل این مشکل طراحان از سطوح آبروپلینامیکی به نام لکس^۱ استفاده می‌کنند. منشادی و هاشمی نشان دادند که استفاده از لکس موجب تولید جریان گردا به ای گردا به ای این گردا به با افزایش انرژی در لایه‌مرزی، فروپاشی گردا به اصلی بال را به تعویق می‌اندازد و هرچه زاویه لکس افزایش یابد، جریان گردا به ای تولید شده توسط آن نیز قوی‌تر است و از پایداری بیشتری برخوردار است [۱۴]. کوئیک و فیگات نشان دادند که استفاده از لکس ضرایب برآ، پسا و پیچ هوابیما را تحت تأثیر قرار می‌دهد [۱۵]. سطوح لکس‌های مورد استفاده در طراحی جنگنده‌ها، می‌توانند اشکال گوناگونی داشته باشند. مشاهدات پژوهش‌گران نشان داده که بیشترین میزان ضریب برآ مربوط به لکس با شکل مثلثی دوگانه^۲ بوده است در زوایای حمله میانی افزایش ضریب برآ به پسا حدود ۲۶ درصد داشته است [۱۶]. زاویه نصب لکس نسبت به بال جنگنده، تأثیر مستقیمی در الگوی جریان و ریزش گردا به روی بال دارد. به طور مثال نصب لکس در زوایه القایی مشیت (بالاتر از بال اصلی) کاهش فشار و مکش فشار بیشتری تولید می‌کند [۱۷]. استفاده از لکس با سطح مقطع مثلثی در قسمت نوک بال هوابیمای جت مسافربری با ایرفویل فوق بحرانی^۳ بدون تغییر در ساختار کلی بال توانسته تا حد قابل قبولی میزان اختلاف فشار بین ناحیه پرفشار در زیر بال و ناحیه کم‌فشار در بالای بال را کم کند که در نتیجه قدرت اغتشاشات در نوک بال کم شده و پسای القایی در این قسمت کاهش یافته است [۱۸]. کانارد نیز همانند لکس جریان گردا به ای تولید می‌کند که سرعت در مرکز این گردا به از سرعت جریان آزاد بالاتر است. این گردا به با تلفیق شدن با گردا به اصلی بال که از لبه حمله سرچشممه گرفته شده، باعث افزایش انرژی در لایه‌مرزی شده و فروپاشی گردا به را به تعویق می‌اندازد، در نتیجه جنگنده قابلیت مانورپذیری خود را حفظ کرده و در زوایای حمله بالاتر دچار واماندگی می‌شود [۱۸]. نصب کانارد در جلوی بال اصلی و بالاتر از محور طولی بال، ضریب برآی بال

¹ Leading Edge Extension (LEX)

² Double delta

³ Critical airfoil

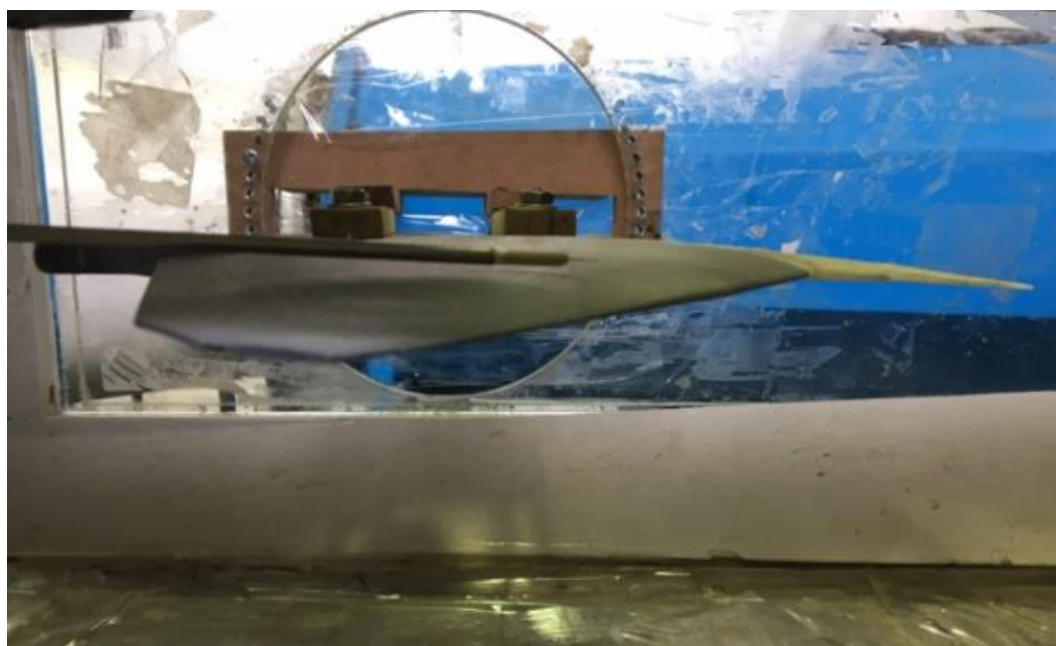
سمت دیواره کناری به اتاق آزمون محکم شده است و در حین آزمایشات هیچ‌گونه لرزشی نداشته است. در شکل ۴ مدل آزمایش با لکس متصل به آن در مقطع آزمون نشان داده شده است. آزمایشات برای بال با لکس ۱۶ درجه انجام شده و سپس نتایج با لکس ۸ درجه مقایسه شده است.

۲- معرفی مدل و تجهیزات آزمایشگاهی

مدل مورد استفاده در این پژوهش یک بال الماسی است که دو نوع لکس با زوایای ۸ و ۱۶ درجه به آن متصل می‌شود که در شکل ۳ قابل مشاهده است. ابعاد مدل نیز در شکل ۲ ارائه شده است که طول اسپن و کورد بال به ترتیب ۲۵۰ و ۱۸۱ میلیمتر است و زاویه عقب‌گرد آن نیز ۴۲ درجه است. مدل از



شکل ۳- لکس‌های مورد استفاده در پژوهش



شکل ۴- مدل بال الماسی مورد استفاده در تونل باد مدار بسته

میلیمتر تشکیل شده که در شکل ۵ نمایی از این پراب با شماره‌گذاری سوراخ‌های آن ارائه شده است.

قبل از شروع آزمایش، کاوشگر پنج حفره‌ای نیز همانند سیم‌داغ باید کالیبره شود. کالیبراسیون برای پراب پنج حفره به‌این معناست که روابط بین فشارهای اندازه‌گیری شده توسط

از آن جایی که در طول تمام مراحل انجام آزمایشات زاویه جانبی و زاویه غلتش مدل صفر بوده، به منظور کاهش زمان و هزینه در طی پژوهش، تمامی داده‌برداری‌ها در نیمه راست مدل انجام گرفته‌است. به منظور داده‌برداری از حرکت‌دادن پراب توسط دستگاه تراورس^۱ استفاده شده است که حرکت آن با دقت ۰/۰۱ میلیمتر بوده و با استفاده از رایانه کنترل می‌شود.

داده‌های مربوط به تست‌های جریان سنج سیم‌داغ و کاوشگر پنج حفره‌ای به صورت فایل اکسل و در رایانه ذخیره می‌شوند.

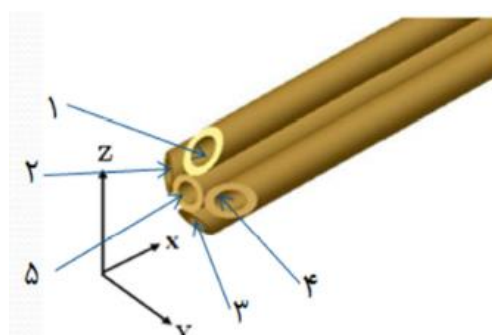
داده‌برداری در مقاطع ۰/۵، ۰/۷۵ و ۱/X در روی بال انجام شده است که در جدول ۱ شرایط آزمایش نشان داده شده است. تونل باد مدار بسته مورد استفاده دارای اتاق آزمون با ابعاد سطح مقطع $380 \text{ mm}^2 \times 270 \text{ mm}$ و طول آن ۷۰۰ mm بوده و در تمامی مراحل آزمایش سرعت جریان تونل مدار بسته ۱۲/۵ متر بر ثانیه و معادل عدد رینولدز ۱۹۲۵۰۰ (برمبنای توپولانس در سرتاسر محفظه آزمایش اندازه‌گیری شده و مقدار آن کمتر از ۰/۲۵ بوده که نشان از کیفیت خوب جریان مقطع آزمون اندازه‌گیری شده و مقدار قابل قبولی برای این آزمایش گزارش شده است [۲۰]. قبل از انجام آزمایش شدت توپولانس در سرتاسر محفظه آزمایش اندازه‌گیری شده جریان سنج سیم‌داغ استفاده شده که به صورت دما ثابت باشد. قسمت سیم جریان سنج از جنس تنگستن با ضخامت ۵ میکرومتر و طول ۱/۵ میلیمتر است که قبل از انجام آزمایش به صورت استاتیکی و دینامیکی کالیبره شده است. داده‌برداری به مدت ۵ ثانیه و در فرکانس ۱/۲۵ کیلوهرتز بوده است و سرعت جریان آزاد به وسیله یک لوله پیغام در بالادست جریان که متصل به فشارسنج یک کاتاله است، اندازه‌گیری شده است. میزان عدم قطعیت جریان سنج سیم‌داغ طبق پژوهش‌های مشابه انجام گرفته و در جدول ۲ ارائه شده است. به منظور تعیین جهت جریان و فشار کل، می‌توان از پراب پنج حفره استفاده نمود. کاوشگر پنج حفره‌ای که در این پژوهش استفاده شده از پنج لوله فلزی به قطر خارجی ۱

جدول ۱- شرایط انجام آزمایش

پارامتر	مقدار
سرعت تونل باد	۱۲/۵ متر بر ثانیه
عدد رینولدز	۱۹۲۵۰۰
مقاطع داده‌برداری فشار	X/C=۰/۵، ۰/۷۵
مقاطع داده‌برداری اغتشاشات	X/C=۰/۵، ۰/۷۵، ۱

جدول ۲- عدم قطعیت جریان سنج سیم‌داغ

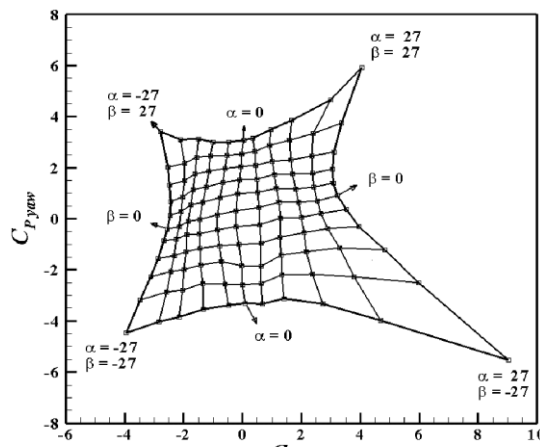
پارامتر	مقدار عدم قطعیت
دستگاه کالیبراسیون سرعت	۰/۱
موقعیت قرارگیری پраб	۰/۰۰۲۲
تغییرات رطوبت	۰/۰۰۰۴
تغییرات دما	۰/۰۰۰۵
برازش منحنی کالیبراسیون	۰/۰۰۰۵
برد آنالوگ به دیجیتال	۰/۰۰۶۶
عدم قطعیت کلی	۰/۰۲۸



شکل ۵- شماتیک کاوشگر پنج حفره‌ای مورد استفاده

^۱ Traverse

جنگنده بیشتر می‌شود. افزایش زاویه حمله به ۲۰ درجه همان‌گونه که در شکل ۱۰ مشاهده می‌شود، موجب شکل‌گیری گردابه لبه حمله بال شده و همچنان گردابه لکس نیز مکش فشاری بیشتری به نسبت زاویه حمله قبل انجام داده و به سمت نوک بال تغییر موقعیت داده است. مکش فشار ناشی از گردابه لکس و گردابه اصلی بال موجب نزدیک شدن این دو گردابه در سطح مقطع $X/C = 0.5$ شده است. بال با لکس زاویه کمتر همان‌گونه که در شکل ۱۱ نشان داده شده است، گردابه لکس بسیار ضعیفتری تولید کرده و بر خلاف شکل ۱۰، این گردابه توانایی نزدیک‌کردن گردابه اصلی بال به خود را نداشته است. به طور کلی افزایش زاویه حمله در یک مقطع ثابت، موجب قوی‌تر و بزرگ‌تر شدن گردابه لکس و گردابه لبه حمله بال می‌شود و خط سیر گردابه را نوک بال است. اگر گردابه لکس از قدرت کافی برخوردار باشد، می‌تواند گردابه فاصله عرضی بین دو گردابه را کاهش دهد. شکل ۱۲ مقدار ضریب فشار روی سطح بال مجهز به لکس ۱۶ و ۸ درجه و در زاویه حمله ۱۰ و ۲۰ درجه را نشان می‌دهد.

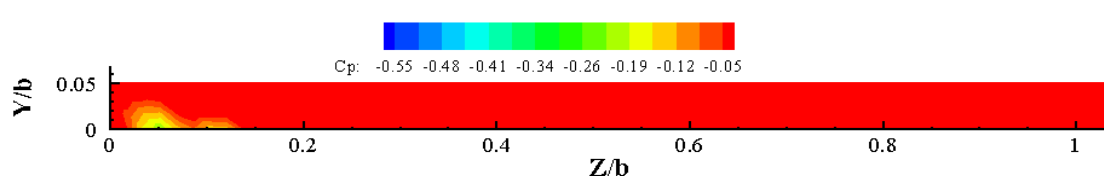


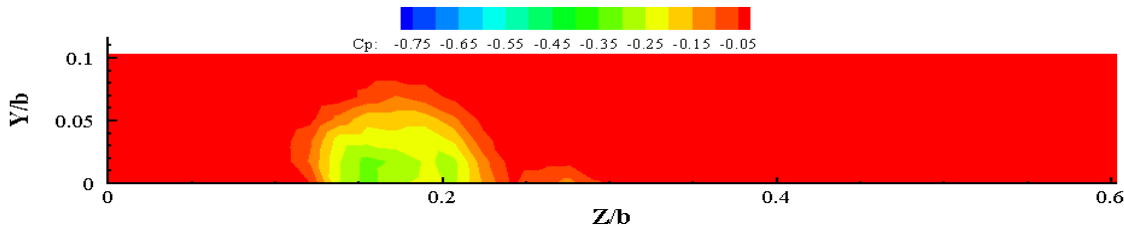
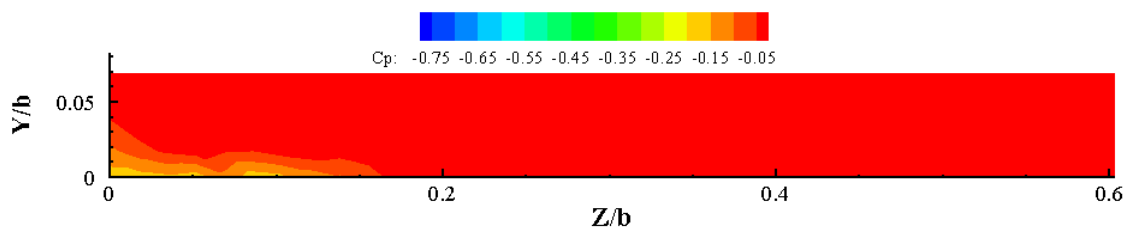
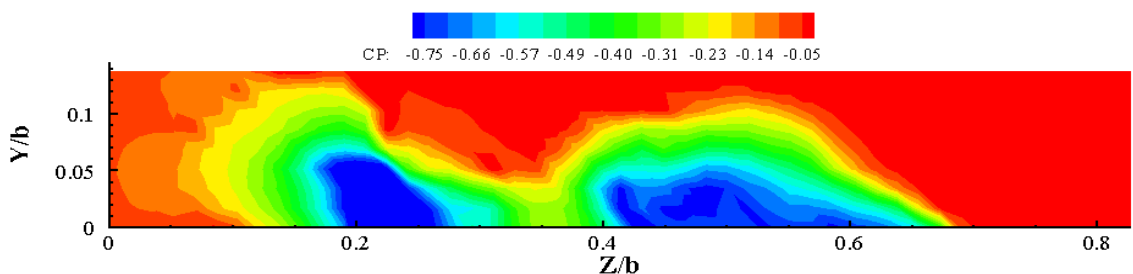
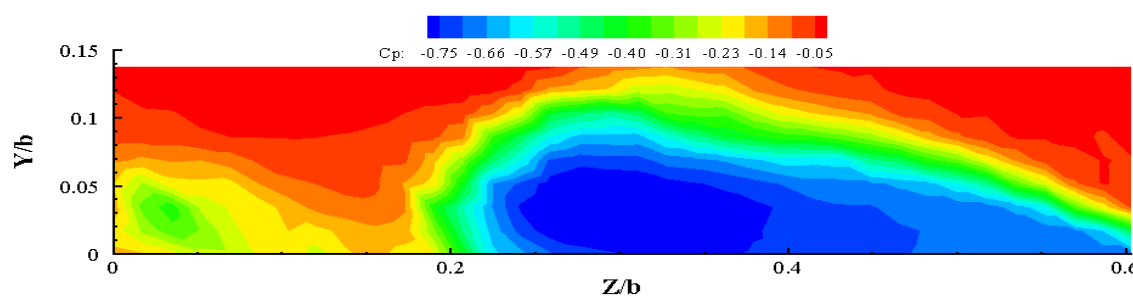
شکل ۶- منحنی کالیبراسیون کاوشگر پنج حفره

پراب و زوایای جریان در مکان اندازه‌گیری به دست آید. این روابط به صورت ضرایب بی بعد استخراج می‌شوند که با توجه به زاویه جریان می‌توان از آن‌ها استفاده کرد. با استفاده از پژوهش‌های پیشین ضرایب بدون بعد فشار به دست آمده و در نهایت منحنی کالیبراسیون برای سرعت مورد نظر به شکل ۶ است [۲۱].

۳- تحلیل نتایج

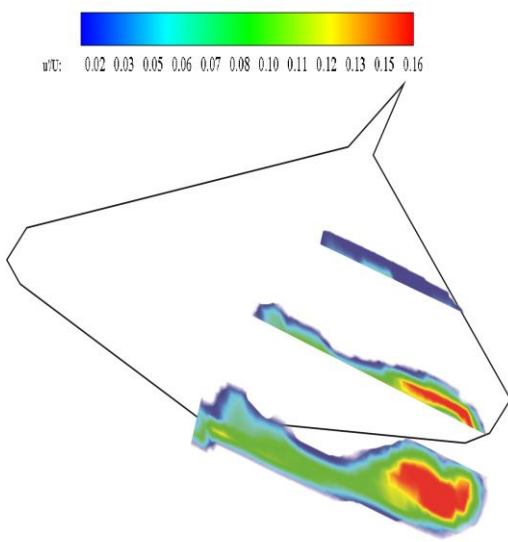
ضریب فشار روی بال الماسی با لکس ۱۶ درجه و در مقطع $X/C = 0.75$ در شکل ۷ نشان داده شده است. برای این منظور ضریب فشار به دست آمده نسبت به فشار جریان آزاد بی بعد شده است. همان‌گونه که مشاهده می‌شود، اختلاف فشار مشهودی روی بال وجود ندارد اما یک جریان بسیار ضعیف از سمت رأس بال در حال شکل‌گیری است که این اختلاف فشار بسیار کم ناشی از شکل‌گیری گردابه ضعیفی از سوی لکس ۱۶ درجه است. با افزایش زاویه حمله به ۱۰ درجه همان‌گونه که در شکل ۸ مشاهده می‌شود، گردابه لکس بزرگ‌تر شده و از سطح خود فاصله گرفته است. مسیر سیر حرکت گردابه لکس در مقطع $X/C = 0.5$ به سمت نوک بال است و در این مقطع گردابه غالب گردابه لکس است که توانسته است، اختلاف فشار مناسبی ایجاد کند. بال مجهز به لکس با زاویه کمتر در زاویه ۱۰ درجه و در مقطع $X/C = 0.5$ ، اختلاف فشار بسیار کم و کوچکی در قسمت وسط بال داشته که این اختلاف فشار کم ناشی از حرکت جریان لکس ۸ درجه به سمت پایین دست خود است که در شکل ۹ نشان داده شده است. واضح است که با افزایش زاویه حمله گردابه بزرگ‌تر شده و بال با لکس بیشتر توانسته گردابه قوی‌تری تولید کند [۱۴]. قوی‌تر بودن گردابه به این معنی است که گردابه در مرکز خود دارای سرعت بیشتری شده که در نتیجه ضریب فشار کمتر و مکش جریان روی بال بیشتر است و در نتیجه میزان نیروی برآ و مانورپذیری

شکل ۷- ضریب فشار روی بال مجهز به لکس ۱۶ درجه ($X/C = 0.75$ و زاویه حمله ۵ درجه)

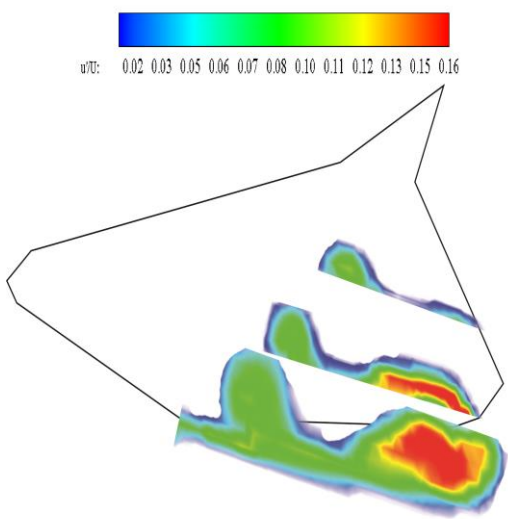
شکل ۸- ضریب فشار روی بال مجهز به لکس ۱۶ درجه (مقطع $X/C=0.5$ و زاویه حمله ۱۰ درجه)شکل ۹- ضریب فشار روی بال مجهز به لکس ۸ درجه (مقطع $X/C=0.5$ و زاویه حمله ۱۰ درجه)شکل ۱۰- ضریب فشار روی بال مجهز به لکس ۱۶ درجه (مقطع $X/C=0.5$ و زاویه حمله ۲۰ درجه)شکل ۱۱- ضریب فشار روی بال مجهز به لکس ۸ درجه (مقطع $X/C=0.5$ و زاویه حمله ۲۰ درجه)

رأس بال قرار داشته است. با افزایش زاویه حمله برای بال با لکس ۱۶ درجه، هر دو گردابه مکش بیشتری داشته و مکان عرضی آنها به هم نزدیک‌تر شده است. نکته مهم قوی‌تر بودن گردابه لکس به نسبت گردابه اصلی بال است و خط سیر این گردابه به سمت نوک بال بوده است. شکل ۱۳ اغتشاش در جهت جریان (u) در زاویه حمله ۱۰ درجه را نشان می‌دهد که نسبت

در زاویه حمله ۱۰ درجه، ضریب فشار در مقطع $X/C=0.75$ برای بال با لکس ۱۶ درجه کاهش بیشتری داشته که این کاهش فشار از سوی هر دو گردابه لکس و لبه-حمله بال بوده است. گردابه لکس در این زاویه حمله با افزایش قدرت و مکش فشار خط سیری به سمت نوک بال داشته است، اما گردابه لکس با زاویه کمتر بسیار ضعیف بوده و در قسمت



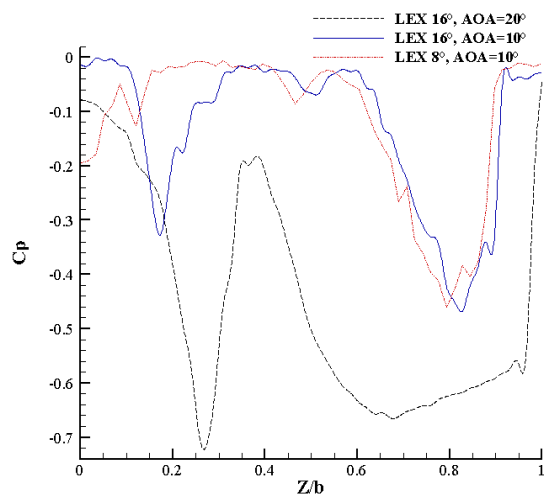
(الف) بال مجهز به لکس ۸ درجه



(ب) بال مجهز به لکس ۱۶ درجه

شکل ۱۳- اغتشاشات روی بال الماسی مجهز به لکس از مقطع $X/C=0/5$ تا $X/C=1$ (زاویه حمله ۱۰ درجه)

بیشتری نسبت به گردابه لکس داشته است. گردابه لکس نیز در این مقطع بزرگ‌تر شده و از سطح بال فاصله بیشتری گرفته است. با حرکت به سمت پایین‌دست جریان و در مقطع $X/C=1$, گردابه لبه حمله بال با گردابه نوک بال ترکیب شده و گردابه بزرگ‌تری تولید کرده که اغتشاش آن نیز بالا رفته است. گردابه لکس قوی‌تر شده افزایش قطر در هسته خود داشته که نشان از بالارفتن اغتشاش آن است. آنالیز طیف



شکل ۱۲- ضربی فشار روی سطح بال مجهز به لکس ۸ و ۱۶ درجه (زاویه حمله ۱۰ و ۲۰ درجه)

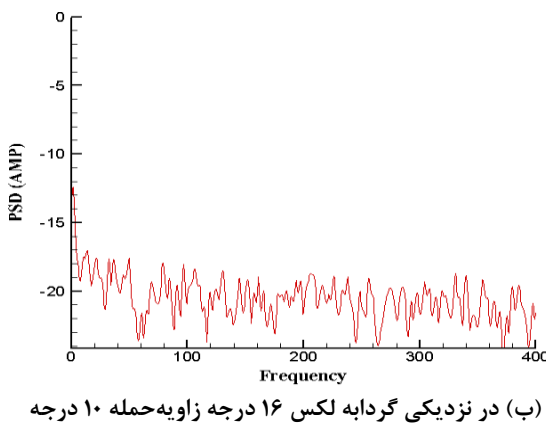
به سرعت جریان آزاد بی‌بعد شده است. برای بال لکس ۸ درجه، جریان عبوری از بالادست در مقطع $X/C=0/5$ اغتشاش بسیار پایین تولید کرده است. کم بودن شدت اغتشاشات نشان دهنده وجود گردابیان فشار نامطلوب کم و گردابه ضعیفتر است [۲۰ و [۲۲]. این اغتشاش کم تولید شده، در قسمت وسط بال بوده و ناشی از جریان گردابهای لکس ۸ درجه است. با حرکت به سمت پایین‌دست جریان و در مقطع $X/C=0/75$, لایه برشی جدا شده در قسمت لبه حمله بال تشکیل گردابه اصلی بال و یا گردابه لبه حمله داده که شدت اغتشاش زیادی تولید کرده است [۲۰]. اغتشاش بسیار کمی نیز در وسط بال وجود داشته که این اغتشاش ناشی از گردابه بسیار ضعیف و کوچک لکس ۸ درجه بوده است. در مقطع $X/C=1$ که بعد از شکستگی در بال است، تلفیق گردابه نوک بال و گردابه لبه حمله در این قسمت اغتشاشات بسیار بالایی داشته است و اغتشاش ناشی از جریان عبوری لکس ۸ درجه به سمت بالا حرکت کرده است. در یک زاویه حمله ثابت، افزایش زاویه لکس همان‌طور که در شکل ۱۳-ب نشان داده شده است، موجب افزایش اغتشاشات شده است. در مقطع $X/C=0/5$ به دلیل غالب بودن گردابه لکس، اغتشاش تولید شده در این ناحیه از سوی این گردابه بوده و گردابه لبه حمله بال به دلیل کوچک و ضعیف بودن، اغتشاش کمتری تولید کرده است. در مقطع $X/C=0/75$ مکش فشاری گردابه اصلی بال بیشتری بوده که در شکل ۱۲ نشان داده شده، بنابراین اغتشاش

گردا به کاهش یافته است. این نکته نیز قابل ذکر است که مقدار بیشینه طیف نوسانی در نزدیکی گردا به لکس ۱۶ درجه، با افزایش زاویه حمله افزایش پیدا کرده است.

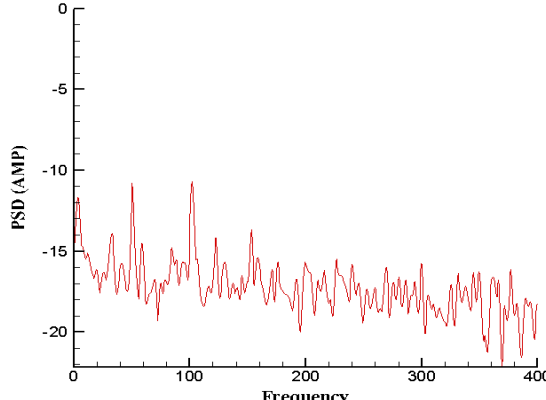
۴- جمع‌بندی

در این پژوهش به بررسی اثر زاویه لکس بر الگوی جریان روی بال الماسی با مقطع ایرفویل شکل مشابه با جنگنده رادرگریز نسل پنج پرداخته شده است. تمامی آزمایشات در تونل باد مدار بسته دانشگاه مالک‌اشتر با کیفیت جریان خوب و در سرعت $12/5$ متر بر ثانیه معادل با عدد رینولدز 192500 انجام شده است. مقدار ضریب فشار روی بال توسط کاوشگر پنج حفره در مقاطع $0/5$ و $X/C=0/75$ و در زوایای حمله 0° و 20° درجه انجام شده است. نتایج این قسمت نشان داد که در زوایای حمله کمتر از 10° درجه و در مقطع $0/5$ گردا به

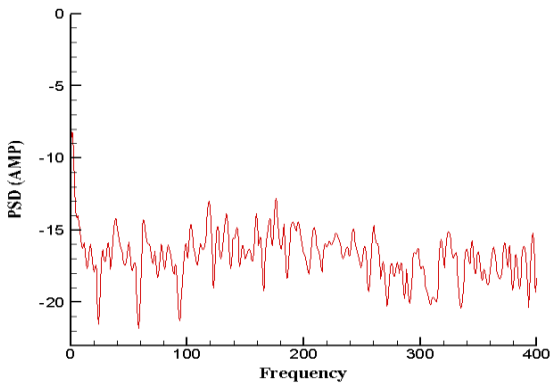
نوسانی در نزدیکی مرکز گردا به لبه حمله و گردا به لکس 16° درجه در شکل 14 و در زاویه حمله 10° و 20° درجه نشان داده شده است. این تحلیل نشان می‌دهد که در حوزه فرکانسی توزیع انرژی سیگنال به چه صورت است که در نزدیکی گردا به مقدار طیف فرکانسی به وسیله دستگاه جریان سنج سیم‌داغ به دست آمده است [۲۲]. در نزدیکی گردا به لبه حمله و در زاویه 10° درجه، بیشترین مقدار طیف نوسانی در فرکانس کمتر از 25 هرتز بوده که این دامنه نوسانی با افزایش فرکانس کاهش یافته که این کاهش تا فرکانس 130 هرتز بوده و سپس افزایش بسیار اندکی داشته است. با افزایش زاویه حمله 20° درجه مقدار طیف نوسانی بیشتر شده که نشان از قوی تر بودن گردا به می‌باشد و دارای یک قله در فرکانس 185 هرتز است. گردا به لکس مقدار طیف نوسانی کمتری داشته و در زاویه حمله 20° درجه دارای دو قله در فرکانس‌های 50° و 100° هرتز است که با افزایش دامنه فرکانسی مقدار طیف نوسانی



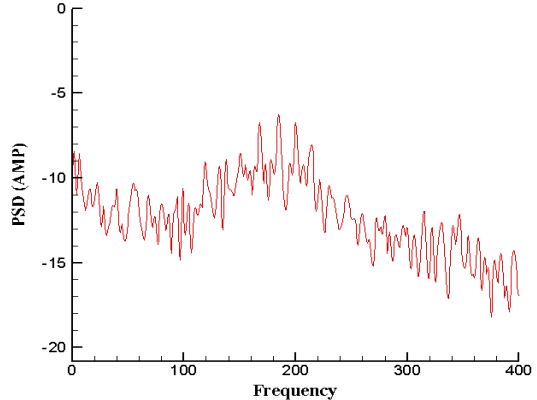
(ب) در نزدیکی گردا به لکس 16° درجه زاویه حمله 10° درجه



(د) در نزدیکی گردا به لکس 16° درجه زاویه حمله 20° درجه



(الف) در نزدیکی گردا به لبه حمله زاویه حمله 10° درجه



(ج) در نزدیکی گردا به لبه حمله زاویه حمله 20° درجه

شکل ۱۴- آنالیز طیف نوسانی برای بال با لکس 16° درجه (مقطع $X/C = 0/75$)

- [5] Çeli A, Yavuz M (2016) Effect of edge modifications on flow structure of low swept delta wing. *AIAA JOURNAL* 54(5): 1789-1798.
- [6] Giuni M, Green R (2013) Vortex formation on squared and rounded tip. *Aerospace Science and Technology* 29(1): 191-199.
- [7] Shen L, Wen Ch (2018) Oscillations of leading-edge vortex breakdown locations over a delta wing. *AIAA JOURNAL* 56(6).
- [8] Ekaterinaris J, Schiff L (1994) Numerical simulation of incidence and sweep effects on delta wing vortex breakdown. *JOURNAL OF AIRCRAFT* 31(1): 1043-1049.
- [۹] غفوری ورزنه م، دهقان منشادی م، یوسفی فر ف، برازازده م (۱۳۹۴) بررسی تجربی تأثیر عدد رینولدز بر روی ساختار جریان پشت بال دلتا با مقطع ایرفویل شکل. یافته‌های نوین در صنعت هواپیما، تابستان ۱۳۹۴.
- [10] Yaniktepe B, Rockwell D (2005) Flow structure on diamond and lambda planforms trailing-edge region. *AIAA JOURNAL* 43(7): 1490-1500.
- [11] Pfnnür S, Oppelt S, Breitsamter Ch (2019) Yaw control efficiency analysis for a diamond wing configuration with outboard split flaps. *CEAS Aeronautical Journal* 10: 645-663.
- [12] Karasu I, Sahin B, Tasci M (2019) Effect of yaw angles on aerodynamics of a slender delta wing. *Journal of Aerospace Engineering* 32(5).
- [13] Hitzel S, Boelens O, Rooij M (2016) Vortex development on the AVT-183 diamond wing configuration – numerical and experimental findings. *Aerospace Science and Technology* 57: 90-102.
- [۱۴] دهقان منشادی م، هاشمی م، ایل بیگی م (۱۳۹۸) بررسی اثر تغییر زاویه حمله بر ساختار جریان بال الماسی شکل با لبه حمله تیز و مجهز به لکس با آشکارسازی جریان. مجله علمی پژوهشی مکانیک سازه‌ها و شاره‌ها دوره ۹، شماره ۶: ۲۶۵-۲۷۵.
- [15] Kwiek A, Figat M (2016) LEX and wing tip plates interaction on the Rocket Plane in tailless configuration. *The Aeronautical Journal* 120(1224): 255-270.
- [16] Nikolic V (2006) Planform effects on wing-movable tip strake aerodynamic performance. *American Institute of Aeronautics and Astronautics* 27(7705).
- [17] Sohn M (2010) Effect of apex strake incidence-angle on the vortex development and interaction of a double-delta wing. *Experiments in Fluids* 48: 565-575.

غالب گردابه لکس بوده که با افزایش زاویه حمله این گردابه بزرگ‌تر شده و از سطح بال فاصله بیشتری گرفته است و خط مسیر حرکت آن به سمت نوک بال بوده است. با حرکت به سمت پایین دست جریان گردابه لبه حمله و گردابه لکس بزرگ‌تر شده و مکش فشار بیشتری تولید کرده‌اند که نتیجه آن نزدیک شدن دو گردابه بوده است. در یک زاویه حمله و مقطع ثابت، افزایش زاویه لکس منجر به کاهش ضریب فشار روی بال شده است که نتیجه آن افزایش نیروی برآ است. افزایش قدرت گردابه افزایش اختشاش آن را به دنبال داشته که با حرکت به سمت پایین دست اختشاشات روی بال نیز بیشتر شده است. در مقطع $X/C=1$ ، با تلفیق گردابه لبه حمله و گردابه نوک بال، افزایش اختشاشات بسیار بالا بوده است که می‌تواند سطوح پایین دست جریان را تحت تأثیر خود قرار دهد. آنالیز طیف نوسانی در زاویه حمله 10° درجه و نزدیک به مرکز گردابه جایی که شدت اختشاشات بالایی دارد نشان داد، که بیشترین مقدار طیف نوسانی در فرکانس‌های کم بوده و با افزایش فرکانس این مقدار کاهش پیدا کرده است. لکس با زاویه بیشتر به دلیل تولید جریان گردابه‌ای قوی تر مقدار طیف نوسانی بیشتری داشته است. با افزایش زاویه حمله مقدار بیشینه طیف نوسانی در فرکانس‌های بیشتری رخ داده است.

۵- علائم اختصاری

سرعت جریان آزاد	U
اختشاشات در جهت محور x	u'
ضریب فشار بی بعد	Cp
دامنه طیف نوسانی	PSD

۶- مراجع

- [1] Lu Sh, Huang J, Song L, Yi M (2020) A study on zoning coating method of absorbing materials for stealth aircraft. *Journal Pre-proof* (19):114-131.
- [2] Sohn M, Jung J, Lee J (2019) Stealth aircraft technology and future air warfare. *Journal of the KIMST* 22(1): 81-92.
- [3] Adamson A, Snyder M (2017) The challenges of fifth generation transformation. *The RUSI Journal* 162(4): 1-7.
- [4] Sahin B, Tasci M, Karasu I, Akilli H (2017) Flow structures in end-view plane of slender delta wing. *Experimental Fluid Mechanics* 143: 2-11.

- [20] Dehghan Manshadi M, Eilbeigi M, Sobhani M (2016) Chinese Journal of Aeronautics 29(5): 1196-1204.
- [21] Daniels R (2017) Design fabrication and calibration of a five hole pressure probe for measurement of three dimensional flows. GRD Journals 2(4): 102-114.
- [22] Manshadi M, Esfeh M (2016) Experimental investigation of flowfield over an iced aerofoil. The Aeronautical Journal 120(1227): 735-7.
- [18] شرفی ا، رمضانیزاده م، احمدخواه ا (۱۳۹۵) مطالعه عددی اثرات موقعیت‌های طولی و عمودی کانارد بر توزیع فشار و ضرایب آیرودینامیکی یک مدل بال هواپیمای مانورپذیر. مکانیک سازه‌ها و شاره‌ها، دوره ۶، شماره ۴، ۳۱۶-۳۰۱
- [19] GUERAICHE D, POPOV S (2018) Improving the aerodynamics of a transport aircraft wing using a delta platform wingtip leading edge extension. Civil Aviation High Technologies 21(1): 124-136.